استخدام طريقة سطح الاستجابة لتحسين معامل انكسار ولزوجة وكثافة زيت أحشاء سمك الكارب (Cyprinus carpio) المستخلص بالأشعة تحت الحمراء

أسعد الحلفي $^{(1)}$ وصباح الشطي $^{(1)}$ وأثير المطوري $^{(1)}$ قسم علوم الاغذية ، كلية الزراعة ، جامعة البصرة ، العراق.

(*للمراسلة:الدكتورة صباح الشطي، البريد الإلكتروني: sabahalshatty@gmail.com)

تاريخ الاستلام:2021/08/3 تاريخ القبول: 2021/08/3

الملخص:

الكلمات المفتاحية: زيت احشاء سمك الكارب ، الاشعة تحت الحمراء ، الكثافة ، اللزوجة، معامل الانكسار .

المقدمة:

ذكر (2003) Rustad ان حوالي 20 مليون طن والذي يعادل 25% من الانتاج الكلي للأسماك يتم تجاهله بوصفه انتجا عرضيا او مخلفات , اتسبب هذه المخلفات تلوثاً للبيئة في حين يمكن ان تكون هذه المخلفات مصدراً للإنزيمات (Arnesen and Gildberg,2007; Bhaskar et al., 2007; Gildberg, 2001) ومن الممكن ان تستخدم مخلفات الأسماك في انتاج الوقود السائل والكاربون المنشط(Fadhil et al.,2017; Jayainghe,2010) . ان محتوى الزيت في مخلفات الاسماك يتراوح بين (40.1 – 1.4)% (Babbit,1990)

استعملت طرائق تقليدية لاستخلاص زيوت الاسماك و مخلفاتها مثل الضغط الهيدروليكي والتقطير تحت التفريغ و التبلور باليوريا و الاستخلاص بالهكسان و التبلور التقليدي الا ان العيوب الرئيسة لتلك الطرائق تتميز بكونها تحتاج إلى درجات حرارة عالية مما تؤثر سلبا على النوعية التغذوبة لزبوت الاسماك فضلا عن التكسير الحراري للمركبات الطبيعية القابلة

للتغير والحساسة للحرارة ، اضافة إلى سمية المذيبات التي قد يتبقى قسم منها في المنتج ، وبالتالي ستؤثر سلبا على صحة الانسان (Hultin, 1994; Staby and Mollerup ,1993) .

اجربت العديد من الدراسات لاستخلاص زيوت الاسماك ومخلفاتها (Sathivel et al., 2005) وبتقنيات مختلفة منها المستعمال تقنية الموائع فوق الحرجة (Supercritical Fluids Extraction (SFE) والموجات فوق الصوتية (Santos et al., 2010; Esquível et al., 2010; Sahena et al., 1997) والاشعة تحت الحمراء (Al-Hilphy et al., 2020) والاشعة تحت المتبقية في الزيت المنتج النهائي وبقاء المركبات المهمة ذات القيمة العالية (Zaidul et al., 2007; Herrero et al, 2010) .كما ان استعمال ثاني اوكسيد الكاربون يعد غير سام ولا يشتعل ورخيص الثمن الا ان هذه التقنية مكلفة جدا. لذا جاء التفكير بطريقة جديدة مناسبة للاستخلاص اذ ان هذه الطريقة جديدة وغير موجودة محلياً وعالمياً . معامل الانكسار لاشعة تحت الحمراء في عملية الاستخلاص اذ ان هذه الطريقة جديدة وغير موجودة محلياً وعالمياً . معامل الانكسار وتحديد نقاوة الزيت بين سرعة الضوء في الفراغ إلى سرعته في أي وسط، ويُمكن استعمال هذا الثابت الفيزيائي في تمييز وتحديد نقاوة الزيت (Yunus, (2009) . بين (2009) . بين (2001) . بين (2009) .

ذكر (2013) Koohyar (2013), ان قيمة معامل الانكسار تزداد بازدياد نسبة الاحماض الدهنية غير المشبعة في الزيت وتقتضي ان تكون أكثر من واحد وأقل من أثنين للزيوت والدهون بصورة عامة ،كما يزداد معامل الانكسار بزيادة طول السلسلة الكاربونية وزيادة عدد الأواصر غير المشبعة، كذلك عند حدوث الاكسدة الذاتية. كما تشير الدراسات إلى ان رفع درجة الحرارة يقلل من معامل الانكسار وترتفع القيمة بخفض درجة الحرارة وهذا يعود إلى تغير كثافة الزيت سلبا مع ارتفاع درجة الحرارة. الكثافة والوزن النوعي: Density and Specific Gravity الكثافة احد الخواص الفيزيائية المهمة وتعرف على انها النسبة بين الكثافة إلى الحجم، ان الكثافة تتخفض كلما ازدادت درجة الحرارة اي ان العلاقة ما بين الكثافة ودرجة الحرارة علاقة عكسية وكذلك تعتمد الكثافة على الوزن الجزيئي فكلما كان الوزن الجزيئي أقل ارتفعت كثافة الزيوت (Machado et al., 2012)

تُعرف اللزوجة بأنها مقاومة المادة للجريان أو التغيير في شكلها، وهذه المقاومة ناتجة عن الاحتكاك الداخلي بين جزيئات السائل، وان وحدة قياس اللزوجة هي Centistoke ، Poise . وتُعد هذه الخاصية من النقاط المهمة التي يُعتمد عليها في تصنيف الزيوت ثم اختيار الزيت لأغراض واستعمالات معينة ، وتحديداً يُستفاد من اللزوجة في معرفة مدى التغيرات التي تطرأ على الزيت نتيجة الاستعمال (محمد،1995) ،اذ يمكن من خلالها يُمكن معرفة مدى قابلية الزيت على الانسياب، وتتخفض اللزوجة بارتفاع نسبة الاحماض الدهنية غير المشبعة في الزيت (العاني، 2001)

اشار (1976) Pearson إلى ان معامل الانكسار للزيت المستخلص من سمك السلمون كان بحدود 1.462–1.466. بينما وجدت الحسيني (2007) ان معامل الانكسار للزيوت المستخلصة من انواع من الاسماك تراوح بين (Seriola nigrofascita) بين (Seriola nigrofascita) ان معامل الانكسار لزيت سمك (Seriola nigrofascita)

كان 1.4670 . ان معامل الانكسار لزيت سمك (Odonus niger) هو 1.426 . ان معامل الانكسار لزيت سمك (Palavesam,2010 ان معامل الانكسار لزيت سمك السردين هو 1.523.

الهدف من هذه الدراسة هو قياس معامل الانكسار واللزوجة والكثافة لزيت احشاء الكارب واجراء عملية التحسين لتلك الصفات من خلال تحديد الظروف المثلى للاستخلاص والحصول على نماذج رياضية تصفها بدقة.

مواد البحث وطرائقه:

اجري البحث في مختبر هندسة معامل الاغية في قسم علوم الاغذية – كلية الزراعة – جامعة البصرة في 12/14. 2019. تم الحصول على احشاء سمك الكارب (20 كغم) حيث جمعت من الاسواق المحلية (اسواق تجزئة) في محافظة البصرة – العراق. تم استخلاص الزيت من مخلفات اسماك الكارب بواسطة جهاز لاستخلاص الزيوت يعمل بالأشعة تحت الحمراء والمصنع محليا من قبل المطوري (2019) الذي يتكون من مصدر للأشعة تحت الحمراء ويعمل بطول موجي 6 مايكروميتر (المطوري ,2018). يتكون الجهاز من مصدر للاشعة تحت الحمراء واسطوانة مثقبة بداخلها قماش بمثابة فلتر . مبدأ العمل يتم وضع المخلفات في الاسطوانة داخل القماش وتسلط الاشعة تحت الحمراء عليه وعندما تسخن المخلفات يذوب الزيت ويتناضح خلال القماش نازلا عبر القمع المزود بفلتر قطني ومنه إلى وحدة الفصل التي تفصل الزيت عن الماء.

معامل الانكسار

قُدر معامل الانكسار للزيوت المستخلصة من المخلفات وفقاً لطريقة الجمعية الامريكية لكيميائيّ الزيوت (AOCS.).

الكثافة والوزن النوعي Density and Specific Gravity قُدرت الكثافة للزيوت المستخلصة من المخلفات . كما قُدر وزنها النوعي أيضاً وفقاً للطريقة المذكورة في Pearson (1976) باستعمال قنينة الكثافة كما يلى:

كثافة الزيت = وزن قنينة الكثافة مع الزيت - وزنها فارغة / حجم قنينة الكثافة الماء الوزن النوعي للزيت = كثافة الزيت / كثافة الماء

اللزوجة:

استعمل جهاز Ostwald الزجاجي (Size B) في تقدير لزوجة الزيوت المستخلصة من المخلفات عند درجة حرارة 40 و المعمل Weast and Melvin,) م $^{\circ}$. واتُبعت طريقة Sathe and Salunkne في تقدير اللزوجة واستعمال الجداول (V1/V2 = d1t1/d2t2 لاستخراج الكثافة النوعية ولزوجة الماء عند درجات حرارة مختلفة، ثم طُبق القانون V1/V2 = d1t1/d2t2 حيث أن: V1 = U2 = U2 = U2 الزيت، U1 = U2 = U2 = U2 الزيت، U1 = U2 = U2 = U2 = U2 النول النواني، U1 = U2 = U2 = U2 = U2 = U2 الثواني، U1 = U2 = U2 = U2 = U2 = U2 الثواني.

تصميم التجارب:

استخدمت ثلاثة عوامل مستقلة هي درجة الحرارة والقدرة والمسافة بين مصدر الاشعة تحت الحمراء لتحسين معامل الانكسار واللزوجة والكثافة لزيت احشاء الاسماك باستخدام برنامج Design Expert v.7 باستخدام برنامج Response Surface methodology باستخدام التصميم المركب المركزي (CCD) باستخدام التصميم المركب المركزي (1) المديات التجريبية للعوامل المستقلة في الـCCD. وهنالك عشرون معاملة موزعة عشوائيا. استخدمت معادلة الانحدار المتعدد اللاخطي quadratic polynomial regression model للتنبؤ بمعامل الانكسار واللزوجة والكثافة زبت مخلفات الاسماك (معادلة 1):

$$Y = \beta_{\circ} + \sum_{i=1}^{k} \beta_{i} X_{i} + \sum_{i=1}^{k} \beta_{ii} X_{i}^{2} + \sum_{i < i=1}^{k} \beta_{ij} X_{i} X_{j}$$
 (1)

حيث Y: الاستجابة (معامل الانكسار واللزوجة والكثافة)، eta: ثابت، eta: ثابت متعلق بالجزء الخطي بالمعادلة، eta_{ii} : ثابت متعلق بالجزء اللخطى بالمعادلة، eta_{ij} : ثابت متعلق بالجزء الخاص بالتداخل في المعادلة، eta_{ij} : ثابت متعلق بالجزء الخاص بالتداخل في المعادلة، eta_{ij} : ثابت متعلق بالمعادلة، ثابت متعلق بالجزء الخاص بالتداخل في المعادلة، ثابت متعلق بالمعادلة، ثابت بالمعادلة، ثابت متعلق بالمعادلة، ثابت بالمعادلة بالمعادلة، ثابت بالمعادلة بالمعاد

		.) \		. (-) •••
	المستويات	الرمز	العوامل	
1+	0	1-		
70	60	50	X_1	درجة الحرارة (مئوي)
250	190	130	X_2	القدرة (واط)
30	15.50	1	X_3	المسافة (سم)

جدول (1): المديات التجريبية للعوامل المستقلة في التصميم المركب المركزي .CCD لمعامل الانكسار للزيت .

كما تم اجراء اختبار اللمقارنة بين القيم العملية والمتنبأة عند مستوى معنوية (p<0.05) (الراوي وخلف الله 2000) النتائج والمناقشة:

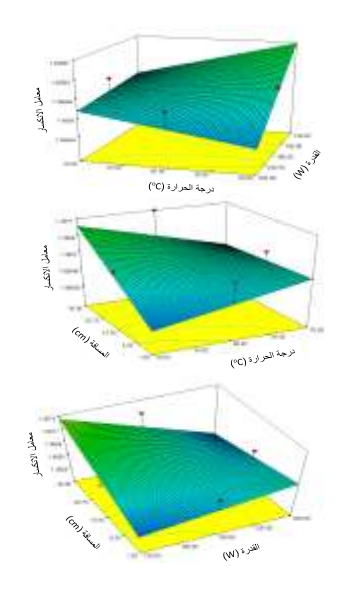
ان معدل نسبة الزيت المستخلص بلغت 20% بواقع 200 غرام لكل كغم مخلفات. يلاحظ من جدول (2) مصفوفة التصميم المركب المركزي للمسافة والقدرة ودرجة الحرارة واستجابة معامل الانكسار المتنبأ به للزيت عن طريق التحسين ومطابقته مع معامل الانكسار العملي . تم الحصول على الظروف المتمثلة المسافة 30سم والقدرة 250 واط ودرجة الحرارة 70 م التسلسل 14 اذ اعطت ادنى معامل انكسار للزيت اذ بلغ معامل الانكسار العملي والمتنبأ به 1.4661،1.4565 على التوالي وهذا يعود إلى رفع درجة الحرارة التي جعلت من معامل الانكسار للزيت الناتج منخفض ،إن رفع درجة الحرارة يقلل من قيمة معامل الانكسار وترتفع القيمة بخفض درجة الحرارة (محمد،1995). كذلك يزداد معامل الانكسار بزيادة عدم تشبع المادة وزيادة الكثافة النوعية وزيادة الوزن الجزيئي (طول السلسلة).

معامل الانكسار المتنبأ به	معامل الانكسار العملي	درجة الحرارة (م) X1	القدرة(واط) X2	المسافة(سم) X 3	التسلسل
1.4662	1.4665	60 (0)	190 (0)	15.5 (0)	1
1.4661	1.4664	60 (0)	190 (0)	15.5 (0)	2
1.4664	1.4666	60 (0)	190 (0)	15.5 (0)	3
1.4658	1.4660	50 (-1)	130 (-1)	1 (-1)	4
1.4669	1.4681	50 (-1)	130 (-1)	30 (+1)	5
1.4667	1.4671	60 (0)	190 (0)	30 (+1)	6
1.4664	1.4666	60 (0)	130 (-1)	15.5 (0)	7
1.4661	1.4665	60 (0)	190 (0)	15.5 (0)	8
1.4663	1.4667	70 (+1)	190 (0)	15.5 (0)	9
1.4662	1.4664	60 (0)	190 (0)	15.5 (0)	10
1.4665	1.4667	50 (-1)	190 (0)	15.5 (0)	11
1.4663	1.4667	70 (+1)	130 (-1)	30 (+1)	12
1.4664	1.4666	70 (+1)	250 (+1)	1 (-1)	13
1.4661	1.4565	70 (+1)	250 (+1)	30 (+1)	14
1.4663	1.4667	50 (-1)	250 (+1)	1 (+1)	15
1.4664	1.4666	60 (0)	250 (+1)	15.5 (0)	16
1.4658	1.4660	50 (-1)	250 (+1)	30 (+1)	17
1.4664	1.4667	70 (+1)	130 (-1)	1 (-1)	18
1.4661	1.4664	60 (0)	190 (0)	15.5 (0)	19
1.4663	1.4667	60 (0)	190 (0)	1 (-1)	20

جدول(2): مصفوفة التصميم المركب المركزي للمسافة والقدرة ودرجة الحرارة واستجابة معامل الانكسار للزيت

تحليل سطح الاستجابة لمعامل الانكسار:

يوضح الشكل (1) مخططات ثلاثية الأبعاد والتي يعطي صورة واضحة حول العلاقة بين العوامل المستقلة (المسافة، القدرة، درجة الحرارة) والعامل التابع (معامل الانكسار) فكلما انخفضت درجة الحرارة يحصل نقصان غير معنوي في معامل الانكسار ولكن عند زيادة القدرة أدت إلى زيادة غير معنوية في معامل الانكسار ، عند خفض القدرة مع تثبيت درجة الحرارة والمسافة ادت إلى انخفاض معامل الانكسار للزيت . بلغت قيمة معامل الانكسار 14681عند المسافة 30سم ودرجة الحرارة 60 مئوي وعند زيادة القدرة إلى 190 واط عند المسافة 30سم ودرجة الحرارة 60 قد انخفض معامل الانكسار بصورة غير معنوية إلى الـ1.4671على التوالي وهذا يعود إلى أن درجة الحرارة العالية تؤدي إلى خفض قيمة معامل الانكسار للزيت(محمد،1995). إن لكل من درجة الحرارة والقدرة تأثيراً غير مباشر في معامل الانكسار في معامل الانكسار 1965ء الحرارة العالية عمامل الانكسار 1965ء وعند زيادة درجة الحرارة إلى 60 م مع فمثلا عند القدرة بلغ معامل الانكسار الم 14667ء وكانت هذه النتائج أقل من قيم معامل الانكسار لزيوت المسافة على 1.471هم. عند زيادة القدرة إلى 250 واط وخفض درجة الحرارة إلى 50 مئوي الذكسار الم 14667ء وكانت هذه النتائج أقل من قيم معامل الانكسار لزيوت المسافة على 1.47140، وكانت هذه النتائج أقل من قيمة معامل الانكسار لزيت السمك التجاري 1.47140، على التوالي والمدروسة من قبل (الحسيني، 2007)، وأقل من قيمة معامل الانكسار لزيت السمك التجاري 1.483 (Hulya,2002) . وحد (4014)



الشكل (1):تأثير القدرة ودرجة الحرارة والمسافة على معامل الانكسار للزيت جدول(3) تحليل التباين لمعامل الانكسار للزبت

	Sum of		Mean	F	p-value	
Source	Squares	df	Square	Value	Prob > F	
Model	2.07E-06	6	3.45E-07	3.33	0.0327	significant
X1	9.00E-09	1	9.00E-09	0.087	0.7728	
X2	2.89E-07	1	2.89E-07	2.79	0.1188	
X3	2.89E-07	1	2.89E-07	2.79	0.1188	
X1X2	1.51E-07	1	1.51E-07	1.46	0.2485	
X1X3	2.81E-07	1	2.81E-07	2.71	0.1234	
X2X3	1.05E-06	1	1.05E-06	10.15	0.0072	
Residual	1.35E-06	13	1.04E-07			
Lack of Fit	1.31E-06	8	1.64E-07	24.63	0.0013	significant
Pure Error	3.33E-08	5	6.67E-09			
Cor Total	3.42E-06	19			_	

Refractive index = +1.46734 - 2.64986X1 - 1.01250X2 + 1.68477X3 + (2)2.29167X1X2 - 1.29310X1X3 - 4.16667X2X3

الكثافة:

يبين جدول (3) مصفوفة التصميم المركب المركزي للمسافة والقدرة ودرجة الحرارة واستجابة الكثافة المتنبأ بها عن طريق التحسين ومطابقتها مع كثافة الزيت العملي . تم الحصول على الظروف المتمثلة بالمسافة 30سم والقدرة 250 واط ودرجة الحرارة 50 م التسلسل 17 اذ اعطت ادنى كثافة للزيت حيث بلغت كثافة الزيت العملية والمتنبأ بها 0.89،0.892 غم المسافل 19 المسافل المسافلة ودرجة الحرارة والمسافلة ودرجة الحرارة ولا المسافلة ال

التشبع او الزيادة في طول السلسلة الكاربونية للحوامض الدهنية ووجود الدهون المركبة مثل الفوسفولبيدات والكلايكوبروتين ولذا تعد مقياسا لمدى تشبع او عدم تشبع السلسلة الكاربونية للاحماض الدهنية .

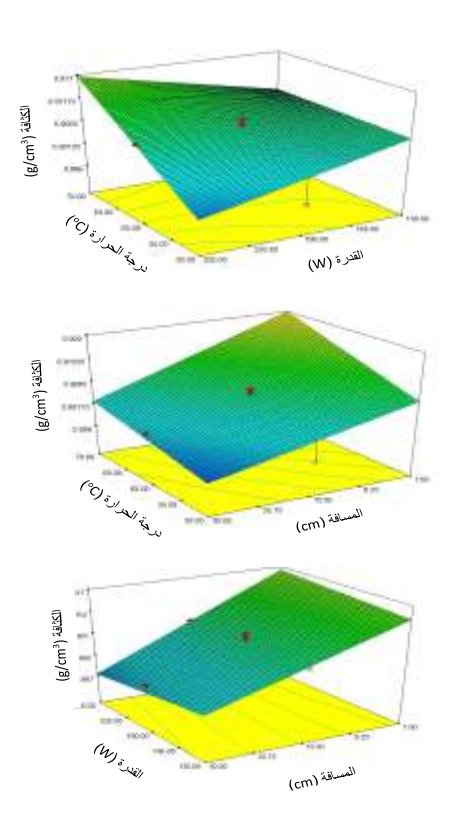
حيث X1: درجة الحرارة (مئوي)، X2: القدرة (واط)، X3: المسافة (سم).

جدول(3): مصفوفة التصميم المركب المركزي للمسافة والقدرة ودرجة الحرارة واستجابة كثافة الزيت (غم /سم3)

كثافة الزيت المتنبأ بها	كثافة الزيت العملية	درجة الحرارة		المسافة (سم)	التسلسل
غم/سم3	غم/سم3	x1(م)	X2	X3	
0.91	0.908	60 (0)	190 (0)	15.5 (0)	1
0.91	0.909	60 (0)	190 (0)	15.5 (0)	2
0.91	0.908	60 (0)	190 (0)	15.5 (0)	3
0.91	0.917	50 (-1)	130 (-1)	1 (-1)	4
0.90	0.900	50 (-1)	130 (-1)	30 (+1)	5
0.90	0.901	60 (0)	190 (0)	30 (+1)	6
0.91	0.907	60 (0)	130 (-1)	15.5 (0)	7
0.91	0.909	60 (0)	190 (0)	15.5 (0)	8
0.91	0.908	70 (+1)	190 (0)	15.5 (0)	9
0.91	0.908	60 (0)	190 (0)	15.5 (0)	10
0.90	0.896	50 (-1)	190 (0)	15.5 (0)	11
0.90	0.902	70 (+1)	130 (-1)	30 (+1)	12
0.93	0.932	70 (+1)	250 (+1)	1 (-1)	13
0.91	0.903	70 (+1)	250 (+1)	30 (+1)	14
0.90	0.905	50 (-1)	250 (+1)	1 (+1)	15
0.91	0.907	60 (0)	250 (+1)	15.5 (0)	16
0.89	0.892	50 (-1)	250 (+1)	30 (+1)	17
0.92	0.916	70 (+1)	130 (-1)	1 (-1)	18
0.91	0.908	60 (0)	190 (0)	15.5 (0)	19
0.92	0.908	60 (0)	190 (0)	1 (-1)	20

تحليل سطح الاستجابة لكثافة الزبت:

يشير الشكل (2) إلى الرسم الثلاثي الابعاد والذي يعطي صورة واضحة حول العلاقة بين العوامل المستقلة (المسافة، القدرة، درجة الحرارة) والعامل التابع (كثافة الزيت) فكلما زادت درجة الحرارة تحصل زيادة غير معنوية (طفيفة) في كثافة الزيت ولكن عند زيادة القدرة مع تثبيت درجة الحرارة والمسافة ادت إلى انخفاض في كثافة الزيت ، عند زيادة القدرة مع تثبيت درجة الحرارة والمسافة الزيت إلى انخفاض في كثافة الزيت فمثلا عند المسافة 000م والقدرة 190 واط ودرجة الحرارة 000م بلغت كثافة الزيت بصورة غير 0000م معنوية إلى 0000م القررة إلى 00000 واط عند نفس المسافة ودرجة الحرارة 00000 م قد ازدادت كثافة الزيت بصورة غير معنوية إلى 00000 غم/سم 2 على التوالي وهذا يعود إلى أن أغلب الاشعة تسقط بشكل مباشر على المخلفات وترفع درجة حرارتها نتيجة الاحتكاك الهائل بين جزيئات الماء في المخلفات مما يؤدي إلى زيادة كثافة الزيت.



الشكل (2):تأثير القدرة ودرجة الحرارة والمسافة على الكثافة

إن لكل من درجة الحرارة والقدرة تأثيرا مباشرا في كثافة الزيت فمثلا عند القدرة 130 واط ودرجة الحرارة والموروة والقدرة والمين 0.900 عم/سم 3 وعند زيادة القدرة إلى 190 واط ودرجة الحرارة إلى 70 م بلغت كثافة الزيت 0.900 عم/سم 3 وهذا العاملين بسبب ان زيادة القدرة ادت إلى زيادة حركة الجزيئات وساهمت بشكل كبير برفع درجة حرارة المخلفات وكلا العاملين يعملان على زيادة حركة الجزيئات وبالتالي زيادة كثافة الزيت بصورة غير معنوية. عند زيادة القدرة إلى 250 واط وخفض درجة الحرارة إلى 60 م انخفضت الكثافة بصورة غير معنوية (>0.00) إلى <0.90م/سم 3. بالنسبة لتأثير درجة الحرارة والمسافة فعند المسافة 1 سم ودرجة الحرارة والمسافة فعند المسافة الزيت المسافة إلى 15.5 سم ودرجة الحرارة إلى 70 م بلغت كثافة الزيت 2008 عم/سم 3 على التوالي، وعند زيادة المسافة إلى 15.5 سم والقدرة 130 واط وتثبيت درجة الحرارة على 50 مئوي فقد عم/سم 3. اما بالنسبة لتأثير القدرة والمسافة فعند المسافة إلى 30 سم عند نفس القدرة ودرجة الحرارة بلغت كثافة الزيت 2010 وعندما ازدادت المسافة إلى 30 سم عند نفس القدرة ودرجة الحرارة بلغت كثافة الزيت 0.900 وعندما ازدادت المسافة إلى 30 سم عند نفس القدرة ودرجة الحرارة بلغت كثافة الزيت 0.900 واختلفت مع ما توصلت له الحسيني، (2007) عند دراستها كثافة زيوت مخلفات الكارب الطازجة والمجمدة اذ بلغت 30.900 واختلفت مع ما توصلت له الحسيني، (2007) عند دراستها كثافة زيوت مخلفات الكارب الطازجة والمجمدة اذ بلغت كثافة النوالي

الجدول (4) تحليل التباين للكثافة

	Sum of		Mean	F	p-value	
Source	Squares	Df	Square	Value	Prob > F	
Model	1.11E-03	6	1.85E-04	12.85	< 0.0001	significant
X1	2.60E-04	1	2.60E-04	18.1	0.0009	

Al-hilphy et al -Syrian Journal of Agricultural Research -SJAR 9(4): 138-153 August 2022

X2	9.00E-07	1	9.00E-07	0.063	0.8063	
X3	6.40E-04	1	6.40E-04	44.53	< 0.0001	
X1X2	1.71E-04	1	1.71E-04	11.91	0.0043	
X1X3	2.11E-05	1	2.11E-05	1.47	0.2469	
X2X3	1.51E-05	1	1.51E-05	1.05	0.3237	
Residual	1.87E-04	13	1.44E-05			
Lack of Fit	1.86E-04	8	2.32E-05	86.95	< 0.0001	significant
Pure Error	1.33E-06	5	2.67E-07			
Cor Total	1.30E-03	19				

 $\begin{aligned} \textbf{Density} &= +0.95890 - 7.80876X1 - 4.4300X2 + 4.20977X3 + 7.70833X1X2 - \\ & 1.12069X1X3 - 1.58046X2X3 \end{aligned}$

حيث X1: درجة الحرارة (مئوي)، X2: القدرة (واط)، X3: المسافة (سم)

الوزن النوعي

يلاحظ من جدول (5) مصفوفة التصميم المركب المركزي للمسافة والقدرة ودرجة الحرارة واستجابة الوزن النوعي للزيت المتنبأ به عن طريق التحسين ومطابقته مع الوزن النوعي للزيت العملي .

جدول(5): مصفوفة التصميم المركب المركزي للمسافة والقدرة ودرجة الحرارة واستجابة الوزن النوعى للزيت (غم /سم 3)

الوزن النوعي	الوزن النوعي	درجة الحرارة	القدرة (واط)	المسافة (سم)	التسلسل
المتنبأ به	العملي	x1(م)	X2	X3	
0.88	0.881074	60 (0)	190 (0)	15.5 (0)	1
0.88	0.882045	60 (0)	190 (0)	15.5 (0)	2
0.88	0.881074	60 (0)	190 (0)	15.5 (0)	3
0.88	0.899807	50 (-1)	130 (-1)	1 (-1)	4
0.88	0.873312	50 (-1)	130 (-1)	30 (+1)	5
0.87	0.874282	60 (0)	190 (0)	30 (+1)	6
0.88	0.88104	60 (0)	130 (-1)	15.5 (0)	7
0.88	0.882045	60 (0)	190 (0)	15.5 (0)	8
0.89	0.881074	70 (+1)	190 (0)	15.5 (0)	9
0.88	0.881074	60 (0)	190 (0)	15.5 (0)	10
0.88	0.86943	50 (-1)	190 (0)	15.5 (0)	11
0.87	0.875252	70 (+1)	130 (-1)	30 (+1)	12
0.90	0.904363	70 (+1)	250 (+1)	1 (-1)	13
0.88	0.876223	70 (+1)	250 (+1)	30 (+1)	14
0.88	0.878163	50 (-1)	250 (+1)	1 (+1)	15
0.88	0.880104	60 (0)	250 (+1)	15.5 (0)	16
0.86	0.865549	50 (-1)	250 (+1)	30 (+1)	17
0.89	0.888837	70 (+1)	130 (-1)	1 (-1)	18
0.88	0.881074	60 (0)	190 (0)	15.5 (0)	19
0.89	0.881074	60 (0)	190 (0)	1 (-1)	20

جدول (6) تحليل التباين للوزن النوعى

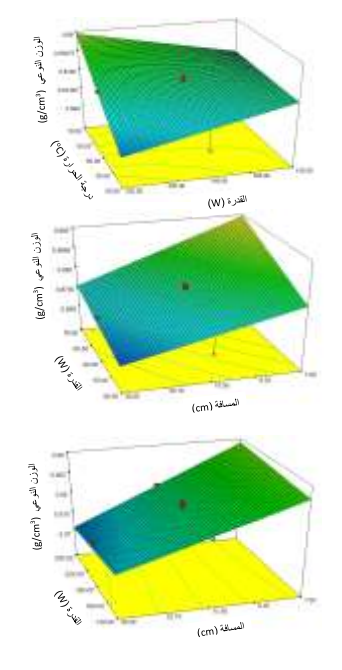
	Sum of		Mean	F	p-value	
Source	Squares	df	Square	Value	Prob > F	
Model	1.04E-03	6	1.74E-04	12.85	< 0.0001	significant

X1	2.45E-04	1	2.45E-04	18.1	0.0009	
X2	8.47E-07	1	8.47E-07	0.063	0.8063	
Х3	6.03E-04	1	6.03E-04	44.53	< 0.0001	
X1X2	1.61E-04	1	1.61E-04	11.91	0.0043	
X1X3	1.99E-05	1	1.99E-05	1.47	0.2469	
X2X3	1.42E-05	1	1.42E-05	1.05	0.3237	
Residual	1.76E-04	13	1.35E-05			
Lack of Fit	1.75E-04	8	2.18E-05	86.95	< 0.0001	significant
Pure Error	1.26E-06	5	2.51E-07			
Cor Total	1.22E-03	19				

Specific weight = +0.93046 - 7.57720X1 - 4.29866X2 + 4.08493X3 + 7.47975X1X2 - 1.08746X1X3 - 1.53359X2X3 (4)

حيث X1: درجة الحرارة (مئوي)، X2: القدرة (واط)، X3: المسافة (سم).

تم الحصول على الظروف المتمثلة المسافة 30سم والقدرة 130 واط ودرجة الحرارة 70 م التسلسل 12 اذ أعطت أدنى وزن نوعي للزيت إذ بلغ الوزن النوعي للزيت العملي والمتنبأ به 0.87،0.78 غم /سم3على التوالي وهذا يعود إلى ارتفاع درجة الحرارة حيث ينخفض الوزن النوعي كلما ارتفعت درجة الحرارة وذلك لأن العلاقة عكسية ما بين الوزن النوعي ودرجة الحرارة (Machado et al.,2012) ، وبصورة عامة يميل الوزن النوعي إلى الارتفاع نتيجة درجة عدم التشبع او الزيادة في طول السلسلة الكاربونية للحوامض الدهنية ووجود الدهون المركبة مثل الفوسفولبيدات والكلايكوبروتي.



شكل (3):تأثير القدرة ودرجة الحرارة والمسافة على الوزن النوعي.

اللزوجة:

يوضح جدول (7) مصفوفة التصميم المركب المركزي للمسافة والقدرة ودرجة الحرارة واستجابة اللزوجة المتنبأ بها للزيت عن طريق التحسين ومطابقتها مع اللزوجة العملية . تم الحصول على الظروف المتمثلة المسافة 30سم والقدرة 250 واط ودرجة الحرارة 50 م التسلسل 17 اذ اعطت ادنى لزوجة للزيت اذ بلغت لزوجة الزيت العملى والمتنبأ بها 2.996 3.25،

بويز على التوالي وهذا يعود إلى شدة الاشعاع الساقط من مصباح الاشعة تحت الحمراء إذ انها ترفع درجة الحرارة الداخلية للزيت التي جعلت من لزوجة الزيت الناتج منخفضة ، وتقل اللزوجة بازدياد نسبة الاحماض الدهنية غير المشبعة في الزيت (العاني،2001) وتعتمد لزوجة الدهون والزيوت الخام اعتمادا كبيرا على محتواها من الغازات المذابة فيها ودرجة حرارتها فكل زيادة في درجة الحرارة بمقدار درجة مئوية واحدة تؤدي إلى انخفاض اللزوجة بنسبة 2% اذ ان العلاقة عكسية فيما بينهما ، وبين (2016) Ehiem et al., (2016) بان لدرجة الحرارة تأثيراً معنوياً في خفض اللزوجة عند ارتفاع درجة الحرارة.

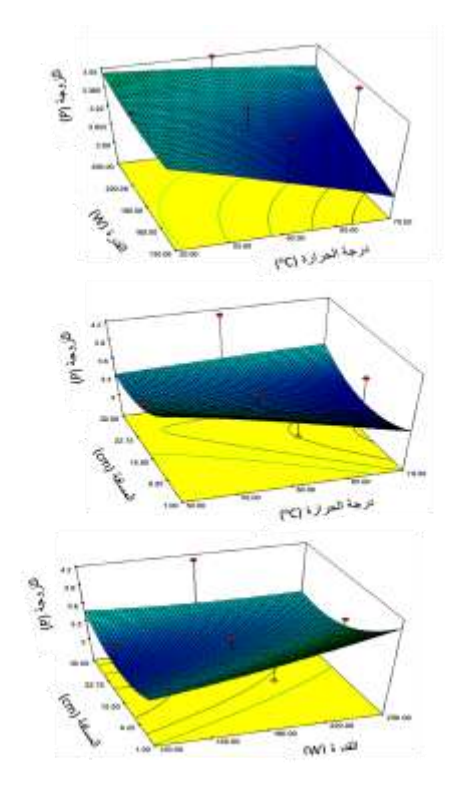
جدول(7): مصفوفة التصميم المركب المركزي للمسافة والقدرة ودرجة الحرارة واستجابة اللزوجة (بويز)

لزوجة الزيت المتنبئ بها بويز	لزوجة الزيت العملية بويز	درجة الحرارة (م)X1	القدرة(واط) X2	المسافة(سم) X 3	التسلسل
3.27	3.049	60 (0)	190 (0)	15.5 (0)	1
3.27	3.052	60 (0)	190 (0)	15.5 (0)	2
3.27	3.44	60 (0)	190 (0)	15.5 (0)	3
3.90	3.80	50 (-1)	130 (-1)	1 (-1)	4
3.53	3.526	50 (-1)	130 (-1)	30 (+1)	5
3.41	4.119	60 (0)	190 (0)	30 (+1)	6
2.27	3.554	60 (0)	130 (-1)	15.5 (0)	7
3.27	3.054	60 (0)	190 (0)	15.5 (0)	8
3.09	3.49	70 (+1)	190 (0)	15.5 (0)	9
3.27	3.042	60 (0)	190 (0)	15.5 (0)	10
3.43	3.511	50 (-1)	190 (0)	15.5 (0)	11
3.43	3.029	70 (+1)	130 (-1)	30 (+1)	12
3.76	3.652	70 (+1)	250 (+1)	1 (-1)	13
3.55	3.538	70 (+1)	250 (+1)	30 (+1)	14
4.35	4.654	50 (-1)	250 (+1)	1 (+1)	15
3.45	3.554	60 (0)	250 (+1)	15.5 (0)	16
3.25	2.996	50 (-1)	250 (+1)	30 (+1)	17
2.93	3.076	70 (+1)	130 (-1)	1 (-1)	18
3.27	3.054	60 (0)	190 (0)	15.5 (0)	19
3.70	3.486	60 (0)	190 (0)	1 (-1)	20

تحليل سطح الاستجابة لللزوجة:

يبين الشكل (4) الرسم الثلاثي الابعاد والذي يعطي صورة واضحة حول العلاقة بين العوامل المستقلة (المسافة، القدرة، درجة الحرارة) والعامل التابع (استجابة اللزوجة) فكلما انخفضت درجة الحرارة يحصل نقصان غير معنوي في اللزوجة ولكن عند زيادة القدرة ادت إلى زيادة غير معنوية في اللزوجة ، عند المسافة 30سم والقدرة 130 واط ودرجة الحرارة 50 م اعطت لزوجة مقدارها 3.526بويز وعند زيادة القدرة إلى 190 واط عند المسافة 30سم ودرجة الحرارة 60 قد ازدادت لزوجة الزيت إلى 4.119 بويز وهذا يعود إلى ان جزء من الاشعة تسقط بشكل غير مباشر على المخلفات وترفع درجة حرارتها مما تؤدي إلى التأثير البسيط على الاحماض الدهنية المكونة للزيت. ان لكل من درجة الحرارة والقدرة تأثيرا مباشرا في لزوجة الزيت فمثلا عند القدرة 130 واط ودرجة الحرارة 50 م بلغت لزوجة الزيت 3.80 بويز وعند زيادة القدرة إلى 190 واط ودرجة الحرارة إلى 70 م بلغت لزوجة الزيت 4.30 بويز وهذا بسبب ان زيادة القدرة ادت إلى زيادة حركة الجزيئات وساهمت بشكل كبير برفع درجة حرارة المخلفات وبما ان العلاقة عكسية بين درجة الحرارة واللزوجة فان لزوجة الزيت

سوف تتخفض . عند زيادة القدرة إلى 250 واط وخفض درجة الحرارة إلى 50 م ازدادت لزوجة الزيت بصورة غير معنوية إلى 4.654 بويز . بالنسبة لتأثير درجة الحرارة والمسافة فعند المسافة السم ودرجة الحرارة الى 70 م بلغت لزوجة الزيت واط فقد بلغت لزوجة الزيت 3.486 بويز ، وعند زيادة المسافة إلى 15.5 سم ودرجة الحرارة إلى 70 م بلغت لزوجة الزيت 3.49 بويز اما بالنسبة لتأثير القدرة والمسافة فعند المسافة الى 30 مم والقدرة 130 واط وتثبيت درجة الحرارة على 50 مئوي فقد بلغت لزوجة الزيت 3.526 بويز وعندما قلت المسافة إلى 15.5 سم مع تثبيت القدرة على 130 واط بلغت لزوجة الزيت 3.554 وكانت هذه النتائج اعلى من قيم اللزوجة لزيوت المخلفات الطازجة والمجمدة الاسماك ابو عوينة وأقل من قيمة اللزوجة لخليط المخلفات الطازجة والمجمدة 2.39230،1.43417 بويز على التوالي والمدروسة من قبل الحسيني (2007) بينت (2018) Abd El Rahman et al., (2018) بينت (2007)



شكل (4): تأثير القدرة ودرجة الحرارة والمسافة على اللزوجة جدول(8) تحليل التباين لللزوجة

Source	Sum of Squares	df	Mean Square	F Value	p-value Prob > F	
Model	1.89	9	0.21	1.39	0.3062	not significant
X1	0.29	1	0.29	1.91	0.1966	
X2	0.2	1	0.2	1.3	0.2811	
X3	0.22	1	0.22	1.43	0.2591	
X1X2	0.076	1	0.076	0.5	0.4941	
X1X3	0.39	1	0.39	2.56	0.1404	
X2X3	0.26	1	0.26	1.72	0.2194	

Al-hilphy et al -Syrian Journal of Agricultural Research -SJAR 9(4): 138-153 August 2022

X1 ²	2.51E-04	1	2.51E-04	1.66E-03	0.9683	
X2 ²	4.50E-03	1	4.50E-03	0.03	0.8664	
X3 ²	0.22	1	0.22	1.48	0.2511	
Residual	1.51	10	0.15			
Lack of Fit	1.38	5	0.28	10.66	0.0106	significant
Pure Error	0.13	5	0.026			
Cor Total	3.4	19				

 $\begin{aligned} \textbf{Viscosity} = 7.04707 - 0.05994X1 - 8.48X2 - 1.04X3 + 1.63X1X2 + 1.52X1X3 - \\ 2.07X2X3 - 9.55X1^2 + 1.12X2^2 + 1.36X3^2 \end{aligned}$

حيث X1: درجة الحرارة (مئوي)، X2: القدرة (واط)، X3: المسافة (سم).

عملية التحسين:

أظهرت نتائج عملية التحسين ان الظروف المثلى (درجة الحرارة ,66.14م والقدرة 215.94واط والمسافة 20.02 سم) اعطت افضل معامل انكسار ولزوجة وكثافة لزبت مخلفات اسماك الكارب كما في جدول (9).

جدول (9) نتائج عملية التحسين

الكثافة(غم/سم)	اللزوجة (سنتي بويز)	معامل الانكسار	العوامل المستقلة			
0.47 ^a ±0.880	0.13± ^a 3.15	1.37± ^a 1.29	عملي	المسافة	القدرة	درجة الحرارة
				(سم)	(واط)	(م)
0.58± a 0.906	0.17± a3.3026	1.34 ⁻ ± ^a 1.467	متنبأ به	20.02	215.94	66.14

الاستنتاجات

من خلال النتائج المستحصلة من الدراسة تبين ان زيوت احشاء الكارب كانت ذات صفات فيزيائية جيدة من ناحية قيم معامل الانكار والكثافة والوزن النوعي واللزوجة وأظهرت النتائج ان الظروف المثالية لتحسين الصفات الفيزيائية لزيت مخلفات الاسماك المستخلص بالاشعة تحت الحمراء هي : درجة الحرارة 66.14 درجة مئوية والقدرة 215.94 واط والمسافة 20.02 سم. وهذا يحتاج إلى انشاء معامل لاستخلاص الزيوت من مخلفات الاسماك ويمكن استخدام الزيت المستخلص لاغراض صناعية مختلفة كانتاج الصابون ومواد الغسيل (المنظفات) والتشميع والمطاط ومواد التزييت ومواد التجميل و الصناعات الصيدلانية والوقود الحيوي.

التوصيات: نوصي بدراسة تأثير شدة الاشعة تحت الحمراء في الصفات النوعية للزيوت. أيضاً استخدام الطريقة المستمرة في الاستخلاص بمساعدة الاشعة تحت الحمراء.

الشكر: نقدم جزيل شكرنا وتقديرنا إلى قسم علوم الاغذية - كلية الزراعة - جامعة البصرة على توفير المختبرات والاجهزة لتسهيل اجراء البحث.

المراجع:

الحسيني، خديجة صادق جعفر (2007).استخلاص الزيوت من الاسماك ومخلفاتها ودراسة صفاتها الكيميائية والفيزيائية واستخدامها في الانظمة الغذائية والصناعية والدوائية الطروحة بكتوراه، كلية الزراعة, جامعة البصرة .226 ص.

- الراوي، خاشع محمود و عبد العزيز محمد خلف الله (2000) . تصميم وتحليل التجارب الزراعية الطبعة الثانية ، دار الكتب للطباعة والنشر، جامعة الموصل، 488 صفحة .
- العاني، ابتهال اسماعيل محمد (2001).دراسة الصفات الفيزيوكيميائية لزيت الحبة السوداء (Nigella sativa L.) المحلية و استخدامه في تصنيع بعض الاغذية . رسالة ماجستير ، قسم الاقتصاد المنزلي كلية التربية للبنات بحامعة بغداد
- المطوري،أثير عبد الامير عبد الجبار.(2019).دراسة كفاءة استخلاص زيت مخلفات الاسماك باستعمال جهاز مصمم محليا يعمل بالأشعة تحت الحمراء ..رسالة ماجستير . قسم علوم الاغذية . كلية الزراعة . جامعة البصرة .220
- المطوري ،أثير عبد الامير عبد الجبار وصباح مالك حبيب الشطي وأسعد رحمان سعيد الحلفي (2018). تأثير نوع العبوة على بعض الدلائل الكيميائية لزيت مخلفات اسماك الكارب Cyprinus carpio المستخلص بالأشعة تحت الحمراء. مجلة علوم البحار والتقنيات البيئية ، 2014).
- محمد ،رضوان صدقي فرج (1995). التحاليل الطبيعية والكيمياوية للزيوت والدهون الطبعة الاولى , المكتبة الاكاديمية الاالديمية القاهرة , مصر 212 ص .
- Abd El-Rahman, F.; N. Mahmoud; A. E. Badawy; and S. Younis, (2018). Extraction of fish oil from fish viscera. Egyptian Journal of Chemistry, 61(2): 225 235.
- Adeniyi, O. D.; and A. A. Bawa (2006). Mackerel (*Scomber scrombrus*) oil extraction and evaluation as raw materials for industrial utilization. Leonardo Journal of Sciences, 8:33-42.
- Al-Hilphy, A. R.;S. M. Al-Shatty; A. A. A. Al-Mtury; and M. Gavahian (2020). Infrared-assisted oil extraction for valorization of carp viscera: Effects of process parameters, mathematical modeling, and process optimization. LWT, 129, 109541. doi:https://doi.org/10.1016/j.lwt.2020.109541.10p.
- AOCS: American Oil Chemists Society (1971). Official and Tentative methods . 3rd edn. , Chicago , USA.
- Arnesen, J.A.; and A. Gildberg (2007). Extraction and characterization of gelatin from Atlantic salmon (*Salmo salar*) skin. Bioresource Technology, 98(1):53-57.
- Babbit, K.J. (1990). Intrinsic quality and species of north pacific fish in making profits out of seafood wastes. In: Proceedings of the International Conference on Fish by Products. Keller, S. (ed.), 25–27 April 1990. University of Alaska Sea Grant. Fairbanks, AK, USA, pp: 39–43
- Bhaskar, N.; A.D. Sathisha; N.M.Sachindra; P.Z. Sakhare; and N.S. Mahendrakar (2007). Effect of acid ensiling on the stability of visceral waste proteases of Indian major Carp *Labeo rohita*. Journal of Aquatic Food Product Technology, 16(1):73-86
- Egan, H.; R.S. Kirk; and R.Sawyer (1988).Pearson's chemical analysis of foods. 8th edn., Longman Scientific Technical. The Bath Press, UK .591p.
- Ehiem, J. C.; V. I. O. Ndirika; U. N. Onwuka; and G. S. Vijayan Raghavan(2016). Effect of temperature and shear rate on viscosity of *Canarium schweifurthii* fruit oil. Proceedings of the Conference on Agricultural Mechanization in Nigeria,(AGMEN 2016):297-306.
- Esquível, M.M.; Bandarra, N.M.; Fontan, I.; Bernardo-Gil, M.G.; Batista, I.; Nunes, M.L. and Empis, J.A. (1997). Supercritical carbon dioxide extraction of Sardine Sardina pilchardus oil. Lebensm. Wiss. Technol., 30: 715–720.

- Fadhil, A. B.; A. I. Ahmed; and H. H. Salih (2017). A production of liquid fuels and activated carbons from fish waste. Fuel, 187:435-445.
- Gildberg, A. (2001). Utilization of male arctic capelin and Atlantic cod intestines for fish sauce production Evaluation of fermentation conditions. Bioresource Technology, 76(2): 119–123.
- Herchi, W.; K. Ben Ammar; I. Bouali; I.Bou Abdallah; A. Guetet; and S. Boukhchina (2015). Heating effects on physicochemical characteristics and antioxidant activity of flaxseed hull oil (*Linum usitatissimum* L.). Food Science and Technology, 36(1):97-102.
- Herrero, M.; A. Cifuentes; and E. Ibanez (2010). Sub and supercritical fluid extraction of functional ingredients from different natural sources: Plants, food-by-products, algae and microalgae: A review. Food Chemistry, 98:136–148.
- Hultin, H.O.(1994) Oxidation of lipids in Seafoods. In: Seafoods: Chemistry, Processing Technology and Quality. Shahidi, F. and Botta, J.R., (Eds.). Chapman and Hall, London, UK. pp: 49–74
- Hulya, C. (2002). Commercial fish oil . *Trakya Unvi*. Bilimsol Arastirmalar Dergisl B. serisicilt ,3(1):1-6 .
- Immanuel, G.; and A.Palavesam (2010). Comparative study on the liver fatty acid profiles of the red toothed trigger fish (*Odonus niger*) from southwest coast of India. Iranian Journal of Fisheries Sciences, 9(1): 97-110.
- Jayasinghe, P. (2010). Biofuels from fish waste from remote fish processing plants in Newfoundland and Labrador. *M.Sc. Thesis*. Faculty of Engineering and Applied Science, Memorial University, Newfoundland. 182p.
- Koohyar, F.(2013).Refractive index and its applications. Journal of Thermodynamics and Catalysis, 4(2): 1000e117, DOI:10.4172/2157-7544.1000e117.
- Machado, M.D.S.; V.C.Zuvanov; E.E.G.Rojas; A.D.G.Zuniga; and B.D.S.Costa, (2012). Thermophysical properties of biodiesel obtained from vegetable oils: Corn, soy, canola and sunflower. Centro cientifico Goiania, 8(14): 917-926.
- Odunaike, K.; L.P. Akinyemi,; J.A Laoye; A.O. Williams; and O.T.Ogunmoroti (2013). Estimation of the physical characteristics of some locally and imported edible vegetable oils samples in Nigeria. International Journal Engineering and Applied Sciences, 4(6): 19-27.
- Pearson, D. (1976). The chemical analysis of foods. 7th edn., Churchill Livingstone, Edinburgh, London .
- Rustad, T. (2003). Utilization of marine by-products. Electronic Journal of Environmental, Agricultural and Food Chemistry, 2(4):458–463.
- Sahena ,F.; I.S.M. Zaidul; S.JIinap; A.M. Yazid; A. khatib; and N.A.N.Norulaini (2010). Fatty acid compositions of fish oil extracted from different parts of Indian mackerel (Rastrelliger kanagurte)using various techniques of supercritical CO2 extraction. Food Chemistry, 120(3): 879-885.
- Santos, F. F.; J. Q. Malveira; M. G. Cruz; and F. A. Fernandes (2010). Production of biodiesel by ultrasound assisted esterification of *Oreochromis niloticus* oil. Fuel, 89: 275-279.
- Sathe, S. K.; and D. K. Salunkhe(1981). Functional properties of great northern bean (*Phasolus vulgaris*) Protein; Emulsion, foaming, viscosity and gelation properties. Journal of Food Science, 46(1):71 -74
- Sathivel, S. (2005). Oil from fish processing byproducts and underutilized fish as a viable renewable resource for biodiesel production . Fishery Industrial Technology Center, University of Alaska Fairbanks . USA. *Pacific Fisheries Technologists 57th Annual Meeting*, March 5th 8th, 2005. p.31

- Shamsudin, S.; and J. Salimon, (2006). Physicochemical characteristics of Aji-Aji fish *Seriola nigrofasciata* lipids. Malaysia Journal of Analytical Sciences, 10(1): 55-58.
- Staby, A.; and J. Mollerup (1993). Separation of constituents of fish oil using supercritical fluids: A review of experimental solubility, extraction, and chromatographic data. Fluid Phase Equilibria, 91:349–386.
- Tate, R. E.; K. C. Watts; C. A. W. Allen; and K. I. Wilkie (2005). The viscosities of three biodiesel fuels at temperatures up to 300°C. *Fuel*, 85(7-8):1010-1015.
- Weast, R. C.; and J. A. Melvin (1982). Handbook of chemistry and physics. 63rd edn., CRC Press, Taylor and Francis Group, an Informa Group company. Boca Raton, Fla.,2354 p.
- Xavier Eugien , L. (2014). Investigation on the production of fish oil from Lesser Sardines and oil Sardines of Muttom Kanyakumari , Tamil Nadu. Ph.D. Thesis , Annamalai University . India. 116p.
- Yunus, W. M. (2009). Refractive Index and fourier trans from infrared spectra of virgin Coconut oil Virgin olive oil. American Journal of Applied Sciences, 6(2): 328-331.
- Zaidul, I.S.M.; N.A.N. Norulaini; A.K.M. Omar; Y.Sato; and R.L Smith (2007) .Separation of palm kernel oil from palm kernel with supercritical carbon dioxide using pressure swing technique. Journal of Food Engineering, 81(2):419–428

The Use of Response Surface Methodology for Improving Physical Characteristics of Carp Fish (Cyprinus carpio) Viscera Oil Extracted Using Locally Infrared Ray Designed Apparatus

Asaad Al – Hilphy⁽¹⁾, Sabah Al – Shatty⁽¹⁾*, and Atheer Al – Mtury ⁽¹⁾
(1) Department of Food Science, Collage of Agriculture, University of Basrah, Basrah-Iraq.

(*Corresponding author: Dr. Sabah M. H. Al – Shatty. E-Mail: sabahalshatty@gmail.com.)

Received: 3/08/2021 Accepted: 3/10/2021

Abstract

The research aimed to determine the physical properties of Common carp (*Cyprinus carpio* L.) oil extracted by an infrared device and locally manufactured and to improve its properties by determining the optimal conditions for extraction and obtaining mathematical models that describe them accurately. These physical characteristics included the refractive index, density, specific gravity and viscosity. The results showed that the lowest and predicted practical values for the above characteristics were 1.4565, 1.4661, 0.892, 0.89, 0.78, 0.78, 2.99 and 3.25, respectively. The results of the statistical analysis showed the presence of a significant effect (P <0.05) of temperature, power, distance and interference between them. The results showed that the ideal conditions for improving the physical properties of infrared fish waste oil are: temperature 66.14 ° C, power 215.94 W, and distance 20.02 cm.

Keywords: Carp (*Cyprinus carpio*) viscera, Infrared radiation , Density, Viscosity and refractive index.